

# 开关变换器混沌 PWM 频谱量化特性分析<sup>\*</sup>

杨 汝<sup>1)†</sup> 张 波<sup>1)</sup>

1) 华南理工大学电力学院, 广州 510640)

2) 广州大学物理与电子工程学院, 广州 510006)

(2005 年 11 月 30 日收到, 2006 年 3 月 29 日收到修改稿)

将 PWM 脉冲波形作为一个过程或事件流, 在分析周期扩频 PWM 的频谱特征基础上, 基于统计学的原理分析了混沌扩频 PWM 的特征函数、概率密度函数, 基于不变分布计算分析了混沌扩频 PWM 功率谱密度, 由此得出混沌扩频 PWM 抑制 EMI 的特点, 从而说明混沌扩频抑制开关变换器 EMI 的有效性. 实验验证了理论分析的结论.

关键词: 混沌扩频, 频谱量化, 电磁干扰

PACC: 0545

## 1. 引 言

开关变换器脉宽调制(PWM)的高频开关工作状态, 是目前最严重的电磁干扰源(EMI)之一. 长期以来, 解决开关变换器 EMI 的方法, 主要采取硬件滤波和屏蔽措施, 其显著的缺点是增加变换器的成本和体积, 且效果强烈依赖于设计者的经验. 研究人员也试图从机理上解决开关变换器的电磁干扰问题, 如采用软开关技术降低功率开关管的电流、电压应力, 以减少电流、电压高频谐波<sup>[1-3]</sup>. 1996 年, CPES 研究中心的研究人员分别采用零电压转换与硬开关电路对两个单相 400W PFC 升压变换器实验模型的传导干扰进行对比实验<sup>[1]</sup>, 测试结果出人意料, 采用 ZVT 技术的软开关变换器与硬开关变换器间的 EMI 差异很小, 甚至于如果 ZVT 的谐振电路不当, 会使 EMI 更高. 在软开关电路拓扑中, 主开关元件的电磁干扰降低, 但辅助开关元件引入新的电磁干扰, 成为重要的干扰源, 难以实现主拓扑和辅助拓扑的同时优化.

开关变换器产生 EMI 的主要原因在于电磁干扰的强度峰值集中出现在开关频率的倍频处, 成为以开关频率为基频的离散频谱, 从而难以抑制. 近年来研究表明, 混沌控制技术在扩展频带抑制 EMI 方

面的优势初见端倪<sup>[4-8]</sup>.

开关变换器混沌控制目前有两种方法<sup>[9]</sup>: 一是参数控制法, 通过控制电流、电压反馈系数或电流、电压参考值来实现变换器混沌运行状态, 但控制条件极为苛刻, 它要求在保证不同负载和其他参数变化条件下, 变换器始终处于混沌态, 并且不影响变换器主要工作特性, 因此在设计上和硬件实现上有较大难度; 二是扩频控制法, 它通过 PWM 的载频混沌控制, 实现 EMI 频谱的连续性, 从而降低电磁干扰的峰值, 可以保证变换器主电路、控制电路基本不变和控制率不变, 虽具有比较实际的应用前景, 但也存在频率范围控制的优化设计问题.

无论是混沌参数控制法和扩频控制法, 目前还没有对开关变换器混沌频谱的量化描述的研究, 从而无法从理论上说明它的有效性, 此外通过量化描述研究, 还可能定量分析各种参数对 EMI 频谱分布的影响, 达到优化控制的目的. 为此, 本文基于扩频控制法, 将 PWM 的驱动波形作为一个过程或事件流, 在分析周期扩频 PWM 的频谱特征基础上, 基于统计学的原理分析了混沌扩频 PWM 的特征函数、概率密度函数, 基于不变分布计算分析了混沌扩频 PWM 功率谱密度, 由此得出混沌扩频 PWM 抑制 EMI 的特点. 最后给出相应的实验结果, 以验证理论分析的有效性.

<sup>\*</sup> 国家自然科学基金(批准号: 60474066)和广东省自然科学基金重点项目(批准号: 05103540)资助的课题.

<sup>†</sup> E-mail: Lisayang702@yahoo.com.cn

## 2. 扩频控制原理和描述

开关变换器 PWM 扩频控制原理可用下式描述：

$$f = f_s + \Delta f, \quad (1)$$

其中  $f_s$  为 PWM 基准开关频率,  $\Delta f$  为附加的扩频信号频率, 这是一个按扩频信号的时域特性变化的频率.

由 (1) 式可见, PWM 扩频控制取决于对  $\Delta f$  的控制, 当  $\Delta f$  周期变化时, PWM 为周期扩频控制; 当  $\Delta f$  混沌变化时, PWM 为混沌扩频控制.

扩频后 PWM 驱动波形构成了一个脉冲过程, 如图 1 所示, 并可表示为以下脉冲序列：

$$\xi(t) = \sum_{k=1}^{\infty} A\delta(t - \tau_k), \quad (2)$$

式中  $\tau_k$  表示第  $k$  个 PWM 波形的起始时间,  $A$  表示驱动脉冲的幅值,  $T_k$  为第  $k$  个脉冲时间间隔.

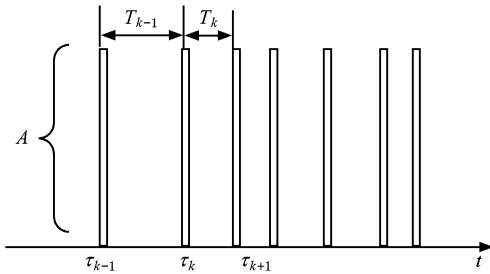


图 1 PWM 驱动脉冲过程  $\xi(t)$

对应周期或混沌扩频信号, PWM 脉冲的时间间隔  $T_k$  分别呈现周期变化或混沌变化. 第  $k$  个驱动波形的起始时间  $\tau_k$  是时间间隔  $T_k$  的累积, 有

$$\tau_k = \tau_{k+1} + T_{k-1}. \quad (3)$$

若  $\tau_0 = 0$  则  $\tau_k = \sum_{i=1}^k T_i$ , 故第  $k$  个 PWM 脉冲起始时间  $\tau_k$  的值也随着扩频信号的不同, 呈现出周期性、混沌性.

根据序列  $\tau_k (k = 0, 1, \dots)$  可以定义一个时间连续过程  $N(t)$  为<sup>[10]</sup>

$$N(t) = \max\{k : \tau_k \leq t\}, \quad (4)$$

式中  $N(t)$  代表时间间隔  $0, t$  内 PWM 脉冲的个数, 称为 PWM 驱动脉冲过程  $\xi(t)$  的记数过程或更新过程.

$N(t)$  的离散概率分布  $F_k(T)$  为

$$F_k(T) = P(N(t) = k)$$

$$= F_c(t, k) - F_c(t, k + 1), \quad (5)$$

式中  $F_c(t, k)$  是第  $k$  个混沌 PWM 驱动脉冲到达时间的分布.

PWM 驱动脉冲过程  $\xi(t)$  的记数过程  $N(t)$  如图 2 所示.

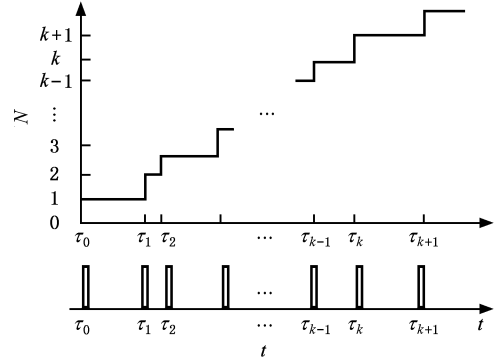


图 2 PWM 驱动脉冲的记数过程  $N(t)$

## 3. PWM 周期性扩频频谱量化分析

在 (1) 式中, 设  $\Delta f = f_A \sin(2\pi f_m t)$  为正弦波周期扩频信号, 则 PWM 的开关工作频率为

$$f = f_s + f_A \sin(2\pi f_m t), \quad (6)$$

式中  $f_m = 1/T_m$  是扩频正弦信号的频率,  $f_A$  是扩频后的 PWM 驱动脉冲产生的频率偏移最大值.

则周期扩频后的 PWM 驱动脉冲的  $n$  次谐波的瞬态频率为

$$f_{\text{inst}, n} = \frac{1}{2\pi} \frac{d\theta_n}{dt} = n[f_s + f_A \sin(2\pi f_m t)], \quad (7)$$

式中  $\theta_n$  为  $n$  次谐波的相位, 因此

$$\begin{aligned} \theta_n &= 2\pi n \int_0^t [f_s + f_A \sin(2\pi f_m t)] dt \\ &= 2\pi n f_s t - n\beta \cos(2\pi f_m t) + n\beta, \end{aligned}$$

式中  $\beta = \frac{f_A}{f_m}$  定义为周期扩频参数.

将 PWM 脉冲过程  $\xi(t)$  由 Fourier 序列描述, 并代入上式  $\theta_n$  的表达式得

$$\begin{aligned} \xi(t) &= \sum_{n=-\infty}^{\infty} C_n e^{j\theta_n} \\ &= \sum_{n=-\infty}^{\infty} C_n e^{j(2\pi n f_s t + n\beta \{ \cos[ n\beta \cos(2\pi f_m t) ] - j \sin[ n\beta \cos(2\pi f_m t) ] \})}. \end{aligned} \quad (8)$$

进一步用 Jacobin 方程<sup>[11]</sup>和  $k$  阶 Bessel 函数  $J_k(\cdot)$  表示  $\cos, \sin$ , 驱动脉冲  $\xi(t)$  在频率  $f$  处的频

谱幅度  $\xi(f, \beta)$  为

$$\xi(f, \beta) = \sum_{n=-\infty}^{\infty} C_n \{ J_0(n\beta) \delta(f - nf_s) + \sum_{k=1}^{\infty} J_k(n\beta) [ \delta(f - nf_s - kf_m) + (-1)^k \delta(f - nf_s + kf_m) ] \}. \quad (9)$$

从而可得,周期扩频 PWM 脉冲过程的功率谱密度  $S_{\xi}(\omega)$  为

$$S_{\xi}(\omega) = \lim_{T \rightarrow \infty} \frac{1}{T} | \xi(f, \beta) |^2, \quad (10)$$

从 PWM 驱动脉冲过程的 Fourier 序列和功率谱密度可以看出, PWM 驱动脉冲频谱由  $\beta$  和  $f_m$  决定的无穷多离散频谱组成,周期扩频虽可以部分降低 PWM 脉冲功率谱的峰值,但得到的还是一个离散频谱,能量集中在以  $nf_s \pm kf_m$  为中心的特定频点,没有得到完全的扩展,EMI 还无法满足实际的需要.这从图 3 和图 4 正弦波周期扩频的 PWM 脉冲与其频谱分布中可以看到.

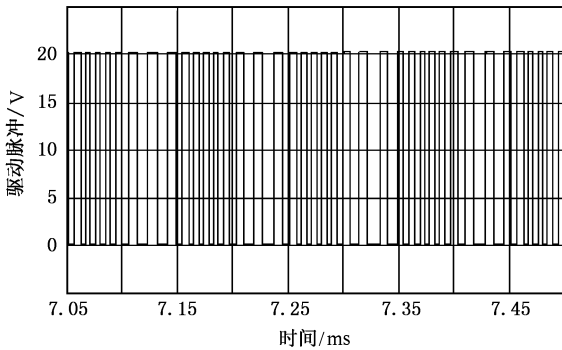


图 3 正弦信号扩频 PWM 驱动脉冲

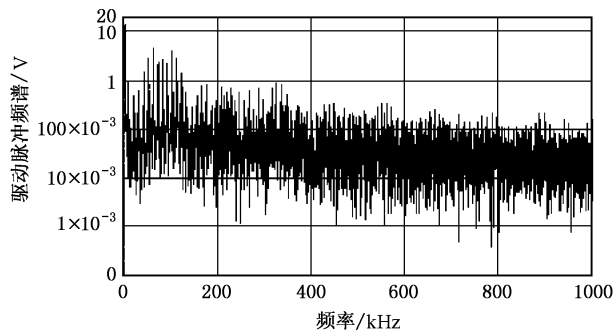


图 4 正弦扩频的 PWM 驱动脉冲频谱

显然若在(9)式中,令  $\beta = 0$ ,  $J_0(0) = 1$ , 此时即为常规的定频 PWM 的脉冲频谱,表示为

$$\xi(f, \beta) = \sum_{n=-\infty}^{\infty} C_n \delta(f - nf_s). \quad (11)$$

由(11)式可见, PWM 驱动脉冲的功率谱集中在  $f_s$  整数倍频处,这从图 5 和图 6 定频的 PWM 驱动脉冲波形及其频谱分布可以验证.

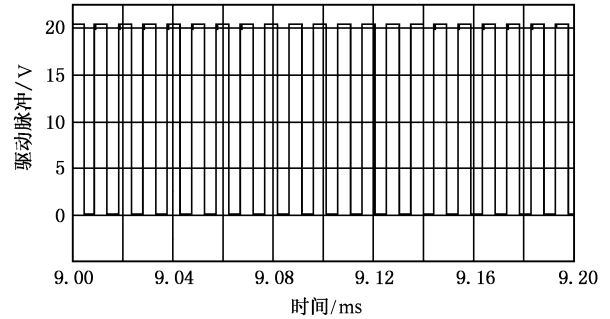


图 5 定频 PWM 驱动脉冲波形

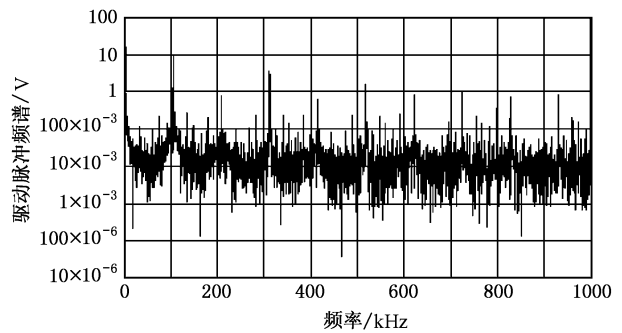


图 6 定频 PWM 驱动脉冲频谱

## 4. PWM 混沌扩频频谱量化分析

参见图 1,混沌扩频控制下的 PWM 脉冲的间隔时间  $T_k$  由以下混沌映射  $\varphi$  描述:

$$T_{k+1} = \varphi(T_k), \quad (12)$$

则第  $k$  个 PWM 驱动脉冲起始时间  $\tau_k$  为一混沌序列,即

$$\begin{aligned} \tau_{k+1} &= T_1 + \varphi(T_1) + \varphi^2(T_1) + \dots + \varphi^k(T_1) \\ &= \phi^k(T_1). \end{aligned} \quad (13)$$

由此,混沌序列  $\tau_k$  的联合概率密度函数为

$$\begin{aligned} f_{\tau_1, \dots, \tau_k}(x_1, \dots, x_k) \\ &= \frac{\partial^k F(\tau_1 < x_1, \dots, \tau_k < x_k)}{\partial x_1 \dots \partial x_k} \\ &= f_c(x_1) \cdot \prod_{i=1}^{k-1} \delta(x_{i+1} - \phi^{i+1}(x_1)). \end{aligned} \quad (14)$$

相应  $\tau_k$  的特征函数为

$$\begin{aligned} & \Theta_{\tau_1, \dots, \tau_k}(\omega_1, \dots, \omega_k) \\ &= E(\exp(j \sum_{i=1}^k \omega_i \cdot \tau_i)) \\ &= \int \dots \int (\exp(j \sum_{i=1}^k \omega_i \cdot x_i)) \\ & \quad \times f_{\tau_1, \dots, \tau_k}(x_1, \dots, x_k). \end{aligned} \quad (15)$$

$\tau_k$  的概率密度函数  $f_c(x)$  是混沌映射  $\varphi$  的不变分布, 不变分布的收敛决定于 Frobenius-Perron 算子<sup>[12]</sup>, Frobenius-Perron 算子表示为  $\rho$ ,

$$\rho f(x) = \sum_{x_i = f^{-1}(x)} \frac{f'(x_i)}{f'(x)}$$

是线性 and 无穷维的, 不变分布是其中的固定点 (或具有特征值 1 的特征函数), 不变分布可以由 Frobenius-Perron 算子对初始密度  $f_0(x)$  的叠代得到

$$f_{k+1}(x) = \rho f_k(x). \quad (16)$$

对任意固定时间  $T, \tau_{N(T)} \leq T \leq \tau_{N(T)+1}, N(T)$  为 (4) 式定义的混沌 PWM 脉冲驱动过程  $\xi(t)$  的记数过程, 则混沌 PWM 脉冲驱动过程  $\xi(t)$  的傅里叶频谱为

$$\xi_T(j\omega) = \sum_{i=1}^{N(T)} A e^{-j\omega\tau_{i-1}}. \quad (17)$$

从而可得, 混沌扩频 PWM 脉冲过程的功率谱密度  $S_\xi(\omega)$  为<sup>[12]</sup>

$$S_\xi(\omega) = \lim_{T \rightarrow \infty} \frac{1}{T} E(|\xi_T(j\omega)|^2), \quad (18)$$

$$\begin{aligned} | \xi_T(j\omega) |^2 &= \sum_{i=1}^{N(T)} \sum_{k=1}^{N(T)} A e^{-j\omega\tau_i} \cdot A e^{-j\omega\tau_k} \\ &= \sum_{k=1}^{N(T)} A^2 + 2 \sum_{i=1}^{N(T)-1} \sum_{k=1}^{N(T)-1} A^2 \\ & \quad \cdot \cos(\omega(\tau_{i+k} - \tau_i)). \end{aligned} \quad (19)$$

得到数学期望

$$\begin{aligned} & E(|\xi_T(j\omega)|^2) \\ &= N \cdot A^2 + 2 \sum_{L=1}^{\infty} P_{N(T)}(T) \\ & \quad \times \sum_{i=1}^{N(T)-1} \sum_{k=1}^{N(T)-1} A^2 \cdot \cos(\omega(\tau_{i+k} - \tau_i)). \end{aligned} \quad (20)$$

这里  $N = E(N(T)), P_{N(T)}(T)$  是事件

$$\{\tau_{N(T)} \leq T \leq \tau_{N(T)+1}\}$$

的概率.

定义  $\xi = T - \tau_{N(T)}$ ,  $T$  是如前所述的固定时间,  $\tau_{N(T)}$  为第  $N(T)$  个混沌驱动脉冲的到达时间, 则  $\varepsilon$

的概率密度函数

$$p_\varepsilon(x) = \sum_{k=1}^{\infty} F_k(T) p_{\tau_k}(T - \tau), \quad (21)$$

式中  $p_{\tau_k}$  是第  $k$  个混沌 PWM 驱动脉冲起始时间  $\tau_k$  的不变分布,  $F_k(T)$  是  $N(T)$  的离散概率分布.

当  $T \rightarrow \infty$  时,  $\varepsilon$  的概率密度函数

$$p_\varepsilon(x) = \frac{1}{E(T_k)} \int_x^{\infty} p_{\tau_k}(y) dy. \quad (22)$$

由 Wald 定律<sup>[13]</sup> 有

$$\begin{aligned} E(T) &= E(\varepsilon + \tau_{N(T)}) \\ &= E(\varepsilon) + E(\tau_{N(T)}) \\ &\approx \varepsilon' + N \cdot E(T_k). \end{aligned} \quad (23)$$

又因为

$$0 \leq \varepsilon' = E(\varepsilon) \ll N \cdot E(T_k),$$

所以

$$E(T) \approx N \cdot E(T_k). \quad (24)$$

由 (24) 式和 (19) 式可以得到 (18) 式混沌 PWM 脉冲过程的功率谱密度为

$$\begin{aligned} S_\xi(\omega) &= \lim_{T \rightarrow \infty} \frac{1}{N \cdot E(T_k)} A^2 E\{N \\ & \quad + 2 \sum_{L=1}^{\infty} P_{N(T)}(T) \\ & \quad \times \sum_{i=1}^{N(T)-1} \sum_{k=1}^{N(T)-1} \cos(\omega(\tau_{i+k} - \tau_i))\} \end{aligned} \quad (25)$$

因为  $\lim_{T \rightarrow \infty} \lim_{N(T) \rightarrow \infty} P_{N(T)}(T) = 1$ .

应用 Birkhoff 遍历定理和 Lebesgue 测度<sup>[12]</sup>, 可以得到混沌序列  $T_k$  的功率谱密度为

$$\begin{aligned} S_\xi(\omega) &= \frac{1}{E(T_k)} A^2 \sum_{k=0}^{\infty} \int f_{\tau_1, \dots, \tau_k}(x_1, \dots, x_k) E(\cos \omega \sum_{j=1}^k x_j) \\ &= \frac{1}{E(T_k)} \sum_{k=0}^{\infty} A^2 \Theta_{\tau_k}(\omega), \end{aligned} \quad (26)$$

$\Theta_{\tau_k}(\omega)$  是混沌 PWM 驱动脉冲到达时间  $\tau_k$  的特征函数.

从 (25) (26) 式可见, 混沌扩频控制 PWM 脉冲频谱具有连续性, 混沌扩频的驱动脉冲功率谱不再集中在特定的频谱, 而是包含了各个频点的频谱, 能量不再集中分布在特定的频点, 在整个频率范围上能量扩展, 所以混沌扩频比周期扩频的 EMI 抑制效果要好得多, 也成为了解决开关变换器 EMI 问题的有效途径. 图 7 和图 8 是混沌扩频控制的 PWM 脉冲及其频谱, 可以看出其频谱的连续性, 且峰值得到平滑.

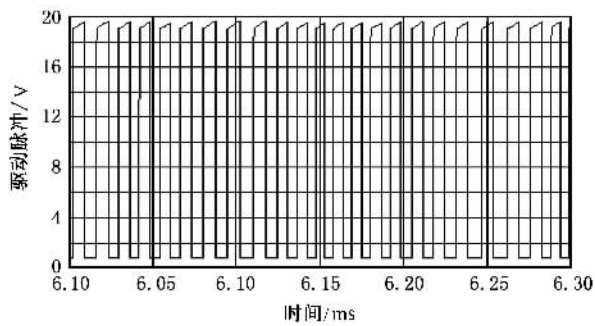


图 7 混沌扩频 PWM 驱动脉冲

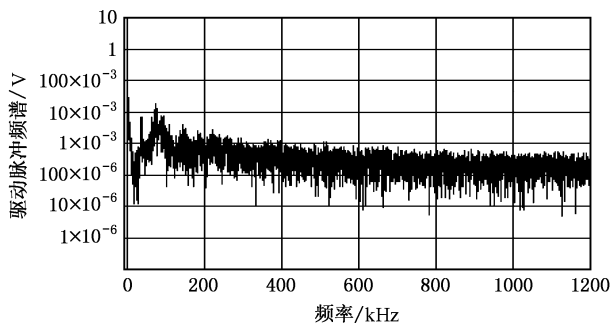


图 8 混沌扩频 PWM 驱动脉冲频谱

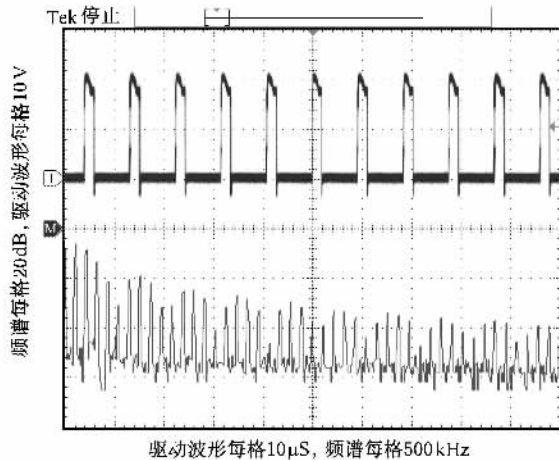


图 9 固定频率 PWM 的驱动脉冲波形及频谱

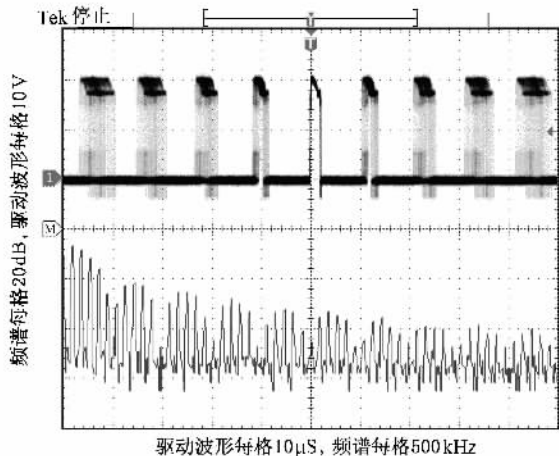


图 10 正弦波扩频 PWM 的驱动脉冲波形及频谱

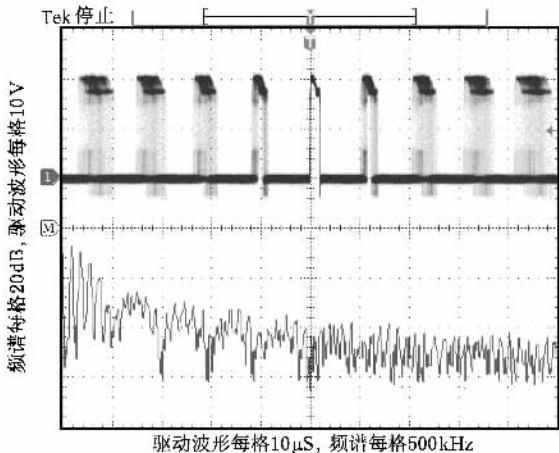


图 11 混沌扩频 PWM 的驱动脉冲波形及频谱

### 5. 实验验证

电路图 9 ,10 ,11 分别是固定频率 PWM、正弦波周期信号扩频 PWM 和混沌扩频 PWM 的实验波形 ,其中固定频率为 100kHz ;周期正弦扩频信号从 50Hz 工频电源信号采样得到 ;混沌扩频信号由蔡氏电路产生 .PWM 控制芯片为 SG6846 ,主电路拓扑为 65W 的 AC-DC 单端反激电路 .

实验电路和仿真电路的拓扑结构及 PWM 控制芯片一致 ,图 3 至图 8 的电路仿真软件为 Simplis .

从实验波形(图 9 ,10)可以看出 ,周期扩频的 PWM 驱动信号频谱比传统固定频率的 PWM 驱动信号频谱峰值只降低了约 1—2dB ,而且周期扩频的 PWM 驱动信号频谱和固定频率的 PWM 驱动信号频谱基本形状一致 ,都是离散的频谱 .从图 11 可以看出混沌信号扩频的 PWM 驱动信号频谱连续化 .混沌信号扩频比传统固定频率的 PWM 驱动信号 ,大多数频点频谱峰值降低了约 10dB .

## 6. 结 论

本文将 PWM 驱动脉冲作为研究对象,分析开关变换器扩频 PWM 的频谱特性,理论上说明了固定频率 PWM 由于离散频谱,高频电磁干扰集中在开关频率的倍频处,以至于 EMI 峰值较大,且无法有效抑制;通过将 PWM 的驱动波形作为一个过程或事件流,应用傅里叶频谱和  $k$  阶 Bessel 函数分析,

得出周期扩频 PWM 虽然可以改变频谱分布,扩展频谱范围至  $nf_s \pm kf_m$ ,但仍然无法改变其离散频谱分布的特点,使得其抑制 EMI 效果有限;本文基于统计学的原理用随机点过程理论分析了混沌扩频 PWM 的特征函数、概率密度函数,基于不变分布计算分析混沌扩频 PWM 功率谱密度.结果表明,混沌扩频 PWM 的频谱完全连续,从而有效地降低了开关变换器的 EMI,是一种有发展潜力的 EMI 抑制技术.相应的实验也验证理论分析正确性.

- 
- [ 1 ] Zhang D, Chen D Y, Lee F C 1996 27th Annual IEEE Power Electronics Specialists Conference. PESC '96 1992
- [ 2 ] Caldeira P, Liu R, Dalal D, Gu W J 1993 24th Annual IEEE Power Electronics Specialists Conference PESC '93 134
- [ 3 ] Paramesh J, Jouanne A V 2001. *IEEE Trans. on Industrial Electronics* **48** 111
- [ 4 ] Luo X S, Chen G R 2003 *Acta Phys. Sin.* **52** 12 ( in Chinese ) [ 罗晓曙、陈关荣 2003 物理学报 **52** 12 ]
- [ 5 ] Li M, Ma X K, Dai D, Zhang H 2005 *Acta Phys. Sin.* **54** 1084 ( in Chinese ) [ 李明、马西魁、戴 栋、张 浩 2005 物理学报 **54** 1084 ]
- [ 6 ] Dai D, Ma X K, Li X F 2003 *Acta Phys. Sin.* **52** 2369 ( in Chinese ) [ 戴 栋、马西魁、李小峰 2003 物理学报 **52** 2369 ]
- [ 7 ] Zhou Y F, Chen J N 2004 *Acta Phys. Sin.* **53** 3676 ( in Chinese ) [ 周宇飞、陈军宁 2004 物理学报 **53** 3676 ]
- [ 8 ] Zhou Y L, Luo X S 2003 *Acta Phys. Sin.* **52** 2978 ( in Chinese ) [ 邹艳丽、罗晓曙 2003 物理学报 **52** 2978 ]
- [ 9 ] Zhang B 2005 5th annual meeting of Guangdong power electronics Guangdong, Shunde 17 ( in Chinese ) [ 张 波 2005 广东省电源学会第五届学术交流年会论文集 广东, 顺德 17 ]
- [ 10 ] Hu D H 2005 *Random process: base theory application* ( Wuhan University Press ) 551 ( in Chinese ) [ 胡笛鹤 2005 随机过程论: 基础理论应用 ( 武汉大学出版社 ) 551 ]
- [ 11 ] Carlson A B 1986 *Communication Systems: An Introduction to signal and noise in electrical communication.* ( New York: McGraw-Hill )
- [ 12 ] Gianluca S, Riccardo R 2002 *Proceeding of the IEEE* **90** 6621
- [ 13 ] Wang J G 2005 *Modern theory of probability* ( Fudan University Press ) ( in Chinese ) [ 汪嘉冈 2005 现代概率论基础 ( 复旦大学出版社 ) 120 ]

# Quantification description of the chaotic PWM spectrum of the switching converter<sup>\*</sup>

Yang Ru<sup>1,2,†</sup> Zhang Bo<sup>1)</sup>

1 *Electric Power College, South China University of Technology, Guangzhou 510640, China*

2 *School of Physics and Electronic Engineering, Guangzhou University, Guangzhou 510006, China*

( Received 30 November 2005 ; revised manuscript received 29 March 2006 )

## Abstract

EMI of the switching-converter is decided by the spectrum of the PWM waveform. There is great theoretical and practical meaning to quantify and analysis them. This paper takes the PWM drive waveform as a time series of processes or events. Based on the analysis of the periodic frequency- spreading, statistical theory is applied to analyze the probability density function, characteristic function, invariable distribution and power spectral density of the PWM waveform under chaotic frequency-spreading, the characteristics of chaotic frequency-spreading are obtained. Finally, some feasible experiments are carried out which verified that the EMI of the switching converters is suppressed effectively by chaotic frequency-spreading.

**Keywords** : chaotic frequency-spreading, spectrum quantification, EMI

**PACC** : 0545

---

<sup>\*</sup> Project supported by the National Natural Science Foundation of China ( Grant No. 60474066 ) and the Major Program of the Natural Science Foundation of Guangdong Province, China ( Grant No. 05103540 ).

<sup>†</sup> E-mail : Lisayang702@yahoo.com.cn